

Introdução à Robótica

<http://www.coep.ufrj.br/gscar>



1/87

Cinemática Diferencial

Fernando Lizarralde

PEE-COPPE/UFRJ

Rio de Janeiro, 3 de agosto de 2018



Voltar

Fechar



Cinemática Diferencial

Como observamos na solução da cinemática inversa utilizando um método iterativo, o Jacobiano da cinemática direta de um manipulador torna possível a linearização do problema.

O **Jacobiano** do manipulador estabelece a relação entre as velocidades das juntas $\dot{\theta}$ e a velocidade linear e angular do efetuador.

O **Jacobiano** do manipulador é uma das relações mais importantes para a análise e controle do movimento de um robô manipulador:

- **Planejamento** e execução de trajetórias suaves
- Determinação de **singularidades**
- Cálculo das equações **dinâmicas** de movimento
- Transformação de **forças e torques** do efetuador para as juntas



Jacobiano Geométrico

Considere a transformação homogênea que representa a configuração do efetuador com relação à base do manipulador:

$$T(\theta) = \begin{bmatrix} R(\theta) & p(\theta) \\ 0 & 1 \end{bmatrix}$$

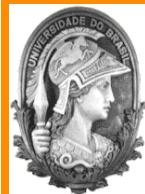
Então a idéia é relacionar a velocidade das juntas com a velocidade linear e angular do efetuador:

$$\dot{\theta} \longrightarrow \begin{array}{l} \dot{p} \text{ velocidade linear do efetuador} \\ \omega \text{ velocidade angular do efetuador} \end{array}$$

Este mapeamento é descrito pelo Jacobiano geométrico do manipulador:

$$\begin{aligned} \dot{p} &= J_p(\theta) \dot{\theta} \\ \omega &= J_o(\theta) \dot{\theta} \end{aligned}$$

onde $J_p \in \mathbb{R}^{3 \times n}$ é o jacobiano de posição e $J_o \in \mathbb{R}^{3 \times n}$ é o jacobiano de orientação.



3/87



Voltar

Fechar

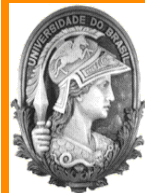
Desta forma temos:

$$\begin{bmatrix} \dot{p} \\ \omega \end{bmatrix} = J(\theta) \dot{\theta}$$

onde

$$J(\theta) = \begin{bmatrix} J_p(\theta) \\ J_o(\theta) \end{bmatrix}$$

Para um melhor entendimento da cinemática diferencial é necessário o estudo do conceito de **velocidade linear e angular de um corpo rígido**.



4/87



Voltar

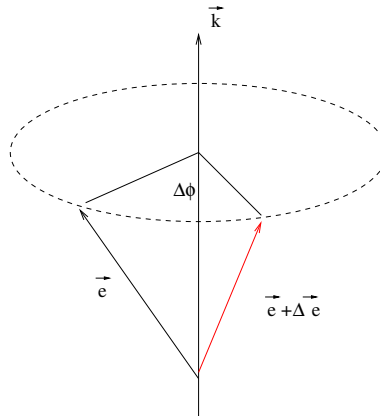
Fechar



Velocidade de um Corpo Rígido

Diferenciação de um vetor

Considere a rotação do vetor \vec{e} ao redor do vetor \vec{k} fixo no sistema de coordenadas \vec{E}_a .



Então tem-se (c.f. figura):

$$\vec{e} + \Delta\vec{e} = e^{\Delta\phi \vec{k} \times} \vec{e}$$



Pela fórmula de Rodrigues

$$\vec{e} + \Delta\vec{e} = \left[\mathcal{I} + \sin(\Delta\phi) \vec{k} \times + (1 - \cos(\Delta\phi)) \vec{k} \times \vec{k} \times \right] \vec{e}$$

Considerando $\Delta\phi \rightarrow 0$ então $\sin(\Delta\phi) \approx \Delta\phi$ e $\cos(\Delta\phi) \approx 1$, tendo

$$\vec{e} + \Delta\vec{e} = \vec{e} + \Delta\phi (\vec{k} \times \vec{e})$$

Conseqüentemente

$$\Delta\vec{e} = \Delta\phi (\vec{k} \times \vec{e}) \implies \frac{\Delta\vec{e}}{\Delta t} = \frac{\Delta\phi}{\Delta t} (\vec{k} \times \vec{e})$$

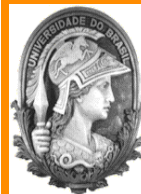
Para $\Delta t \rightarrow 0$, tem-se

$$\frac{d\vec{e}}{dt^a} = \dot{\phi} \vec{k} \times \vec{e}$$

Definindo $\vec{\omega}_a = \dot{\phi} \vec{k}$

a velocidade angular do vetor \vec{e} no sistema de coordenadas \bar{E}_a :

$$\frac{d\vec{e}}{dt^a} = \vec{\omega}_a \times \vec{e}$$



Diferenciação de um Sistema de Coordenadas

Considere os sistemas de coordenadas $\bar{E}_a = [\vec{x}_a, \vec{y}_a, \vec{z}_a]$ e $\bar{E}_b = [\vec{x}_b, \vec{y}_b, \vec{z}_b]$. A derivada de \bar{E}_b considerando \bar{E}_a fixo, é dada por:

$$\frac{d\bar{E}_b}{dt^a} = \vec{\omega}_{ab} \times \bar{E}_b$$

Derivada da Matriz de Rotação

Considere a matriz de rotação $R_{ab} = \bar{E}_a^* \bar{E}_b$. Derivando com respeito ao tempo tem-se:

$$\frac{dR_{ab}}{dt} = \underbrace{\frac{d\bar{E}_a^*}{dt^a}}_0 \bar{E}_b + \bar{E}_a^* \frac{d\bar{E}_b}{dt^a} = \bar{E}_a^* (\vec{\omega}_{ab} \times \bar{E}_b) = \underbrace{\bar{E}_a^* \vec{\omega}_{ab}}_{(\vec{\omega}_{ab})_a} \times \bar{E}_a^* \bar{E}_b$$

Portanto

$$\dot{R}_{ab} = (\vec{\omega}_{ab})_a \times R_{ab}$$

ou simplesmente

$$\dot{R} = \omega \times R = \hat{\omega} R$$



Note que $\vec{\omega}_{ab} = -\vec{\omega}_{ba}$.

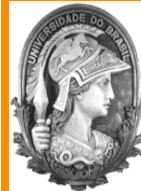
Na literatura aeroespacial: $\dot{R}_{ba} = (\vec{\omega}_{ba})_b \times R_{ba} = -(\vec{\omega}_{ab})_b \times R_{ba}$ ou simplesmente $\dot{R} = -\hat{\omega}R$.

Exemplo: Considere uma rotação elementar ao redor do eixo z , i.e., $R_z(\alpha)$. Se o ângulo α for função do tempo, calculando a derivada no tempo de $R_z(\alpha(t))$ pode-se determinar $\hat{\omega} = \dot{R}R^T$:

$$\hat{\omega} = \begin{bmatrix} -\dot{\alpha} \sin(\alpha) & -\dot{\alpha} \cos(\alpha) & 0 \\ \dot{\alpha} \cos(\alpha) & -\dot{\alpha} \sin(\alpha) & 0 \\ 0 & 0 & 0 \end{bmatrix} \begin{bmatrix} \cos(\alpha) & \sin(\alpha) & 0 \\ -\sin(\alpha) & \cos(\alpha) & 0 \\ 0 & 0 & 1 \end{bmatrix}$$

$$\hat{\omega} = \begin{bmatrix} 0 & -\dot{\alpha} & 0 \\ \dot{\alpha} & 0 & 0 \\ 0 & 0 & 0 \end{bmatrix} \implies \omega = \begin{bmatrix} 0 \\ 0 \\ \dot{\alpha} \end{bmatrix}$$

Que de fato exprime a velocidade angular do sistema de coordenadas ao redor do eixo z .



Representação Exponencial: cálculo de \dot{R}

Considere a representação exponencial da orientação

$$R_{ab} = e^{\theta k \times} = e^{\theta \hat{k}}$$

Suponha que k é fixo em \bar{E}_a .

Então, diferenciando R_{ab} tem-se

$$\dot{R}_{ab} = \dot{\theta} \hat{k} e^{\theta \hat{k}} = \widehat{\dot{\theta} k} R_{ab}$$

Então define-se

$$(\vec{\omega}_{ab})_a = \dot{\theta} k$$

e desta forma tem-se,

$$\dot{R}_{ab} = \widehat{(\vec{\omega}_{ab})_a} R_{ab}$$

onde $(\vec{\omega}_{ab})_a =$ velocidade angular do sistema de coordenadas \bar{E}_b com respeito a \bar{E}_a , representada em \bar{E}_a .

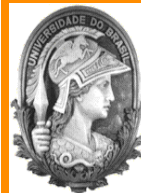


Diferenciação de vetores

Considere a representação de um vetor $\vec{v}(t)$ nos sistemas de coordenadas \bar{E}_a e \bar{E}_b , relacionados através de $v_a(t) = R_{ab}(t) v_b(t)$. Então

$$\begin{aligned}\dot{v}_a &= \frac{dR_{ab}v_b}{dt} \\ &= \dot{R}_{ab} v_b + R_{ab} \dot{v}_b\end{aligned}$$

$$\begin{aligned}\dot{v}_a &= (\vec{\omega}_{ab})_a \times R_{ab}v_b + R_{ab} \dot{v}_b \\ &= (\vec{\omega}_{ab})_a \times v_a + R_{ab} \dot{v}_b\end{aligned}$$



10/87

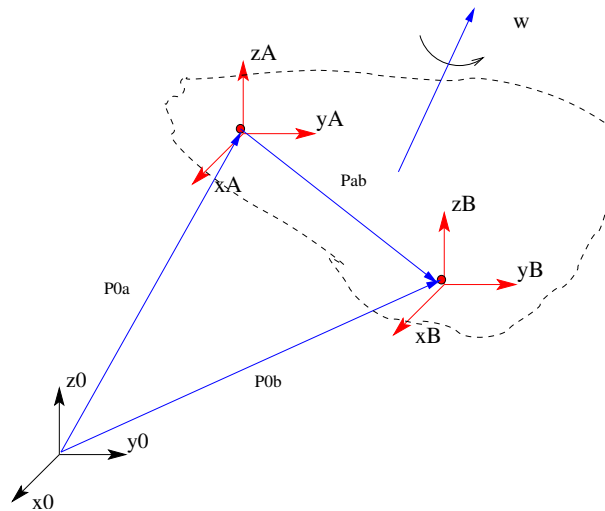


Voltar

Fechar

Relação de velocidade em diferentes frames

Considere 2 sistemas de coordenadas \bar{E}_a e \bar{E}_b solidários a um mesmo corpo rígido:



Então tem-se que

$$\vec{\omega}_a = \vec{\omega}_b = \vec{\omega};$$

onde $\vec{\omega}_a$ e $\vec{\omega}_b$ são as velocidades angulares relativas ao sistema de coordenadas fixo \bar{E}_0 .



Por outro lado, a velocidade linear \vec{v}_b é obtida derivando $\vec{p}_{0b} = \vec{p}_{0a} + \vec{p}_{ab}$ no sistema de coordenadas fixo \bar{E}_0 :

$$\vec{v}_b = \frac{d\vec{p}_{0b}}{dt^0} = \frac{d\vec{p}_{0a}}{dt^0} + \frac{d\vec{p}_{ab}}{dt^0} = \vec{v}_a + \vec{\omega}_a \times \vec{p}_{ab}$$

Nesta situação pode-se definir a velocidade angular e linear do corpo rígido numa **forma matricial e livre do sistema de coordenadas**:

$$\begin{bmatrix} \vec{v}_b \\ \vec{\omega}_b \end{bmatrix} = \begin{bmatrix} \mathcal{I} & -\vec{p}_{ab} \times \\ 0 & \mathcal{I} \end{bmatrix} \begin{bmatrix} \vec{v}_a \\ \vec{\omega}_a \end{bmatrix}$$

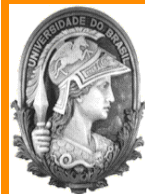
\mathcal{I} : operador identidade.

Da mesma forma podemos obter a relação acima representada num dado sistema de coordenadas. Considerando as seguintes relações:

$$(\vec{p}_{ab})_a = R_{ab} (\vec{p}_{ab})_b$$

$$(\vec{v}_a)_a = R_{ab} (\vec{v}_a)_b$$

$$(\vec{\omega}_a)_a = R_{ab} (\vec{\omega}_a)_b$$



12/87



Voltar

Fechar

Após manipulações algébricas pode-se obter

$$\begin{bmatrix} (\vec{v}_b)_b \\ (\vec{\omega}_b)_b \end{bmatrix} = \underbrace{\begin{bmatrix} R_{ab}^T & -R_{ab}^T \widehat{(\vec{p}_{ab})_a} \\ 0 & R_{ab}^T \end{bmatrix}}_{\Phi_{ba} = Ad_{T_{ba}}} \begin{bmatrix} (\vec{v}_a)_a \\ (\vec{\omega}_a)_a \end{bmatrix}$$

onde $\Phi_{ab} = Ad_{T_{ab}}$ é chamada a **transformação adjunta** da transformação homogênea

$$T_{ab} = \begin{bmatrix} R_{ab} & (\vec{p}_{ab})_a \\ 0 & 1 \end{bmatrix}$$

A **transformação adjunta** tem as seguintes propriedades:

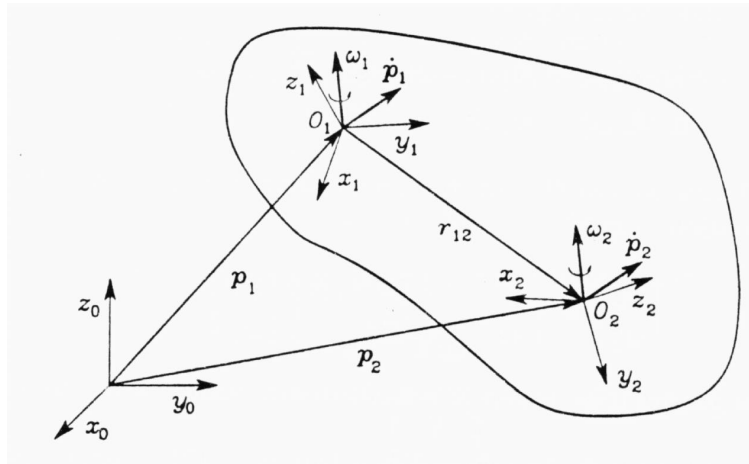
- $\Phi_{aa} = I$
- $\Phi_{ba} = \Phi_{ab}^{-1}$
- $\Phi_{ac} = \Phi_{ab} \Phi_{bc}$





Dualidade Força/Velocidade

Considere a velocidade linear e angular de um corpo rígido em diferentes sistemas de coordenadas.



Neste caso, se consideramos a **força** (f) e **torque** (τ) aplicado no corpo rígido, representados nos 2 sistemas de coordenadas, a potência é a mesma naqueles 2 pontos.



Desta forma, como a potência é mantida, tem-se:

$$\begin{bmatrix} \vec{f}_1 \\ \vec{\tau}_1 \end{bmatrix} \cdot \begin{bmatrix} \vec{v}_1 \\ \vec{\omega}_1 \end{bmatrix} = \begin{bmatrix} \vec{f}_2 \\ \vec{\tau}_2 \end{bmatrix} \cdot \begin{bmatrix} \vec{v}_2 \\ \vec{\omega}_2 \end{bmatrix}$$

Então considerando a relação de velocidade entre diferentes sistemas de coordenadas:

$$\begin{bmatrix} \vec{v}_2 \\ \vec{\omega}_2 \end{bmatrix} = \begin{bmatrix} \mathcal{I} & -\vec{p}_{12} \times \\ 0 & \mathcal{I} \end{bmatrix} \begin{bmatrix} \vec{v}_1 \\ \vec{\omega}_1 \end{bmatrix}$$

a definição de operador adjunto ($F_2 \cdot \Phi V_1 = \Phi^* F_2 \cdot V_1$), e a relação $\vec{x} \cdot (\vec{y} \times \vec{z}) = (\vec{x} \times \vec{y}) \cdot \vec{z}$, chegasse à seguinte relação:

$$\begin{bmatrix} \vec{f}_1 \\ \vec{\tau}_1 \end{bmatrix} = \begin{bmatrix} \mathcal{I} & 0 \\ \vec{p}_{12} \times & \mathcal{I} \end{bmatrix} \begin{bmatrix} \vec{f}_2 \\ \vec{\tau}_2 \end{bmatrix}$$

A relação de forças/torques no sistema de coordenada 1 e 2 é dada por:

$$\begin{bmatrix} (\vec{f}_1)_1 \\ (\vec{\tau}_1)_1 \end{bmatrix} = \begin{bmatrix} \widehat{I} & 0 \\ (\widehat{\vec{p}_{12}})_1 & I \end{bmatrix} \begin{bmatrix} (\vec{f}_2)_1 \\ (\vec{\tau}_2)_1 \end{bmatrix} = \begin{bmatrix} R_{12} & 0 \\ (\widehat{\vec{p}_{12}})_1 R_{12} & R_{12} \end{bmatrix} \begin{bmatrix} (\vec{f}_2)_2 \\ (\vec{\tau}_2)_2 \end{bmatrix}$$





Resumo: cinemática dif. de corpo rígido

Diferenciação de um Vetor

Vetor \vec{k} fixo no sistema de coordenadas \bar{E}_0 .

$\vec{\omega}_0 = \dot{\phi}\vec{k}$ é a velocidade angular do vetor \vec{e} em \bar{E}_0 :

$$\frac{d\vec{e}}{dt^0} = \vec{\omega}_0 \times \vec{e}$$

Diferenciação de um Sistema de Coordenadas

A derivada de \bar{E}_a com respeito a \bar{E}_0 fixo:

$$\frac{d\bar{E}_a}{dt^0} = \vec{\omega}_{0a} \times \bar{E}_a$$



Derivada da Matriz de Rotação

$$R_{ab} = \bar{E}_a^* \bar{E}_b.$$

$$\dot{R}_{ab} = (\vec{\omega}_{ab})_a \times R_{ab}$$

ou simplesmente

$$\dot{R} = \omega \times R = \hat{\omega} R$$

Diferenciação de vetores

Considere o vetor $v_a = R_{ab}v_b$:

$$\dot{v}_a = (\vec{\omega}_{ab})_a \times v_a + R_{ab}\dot{v}_b$$



17/87



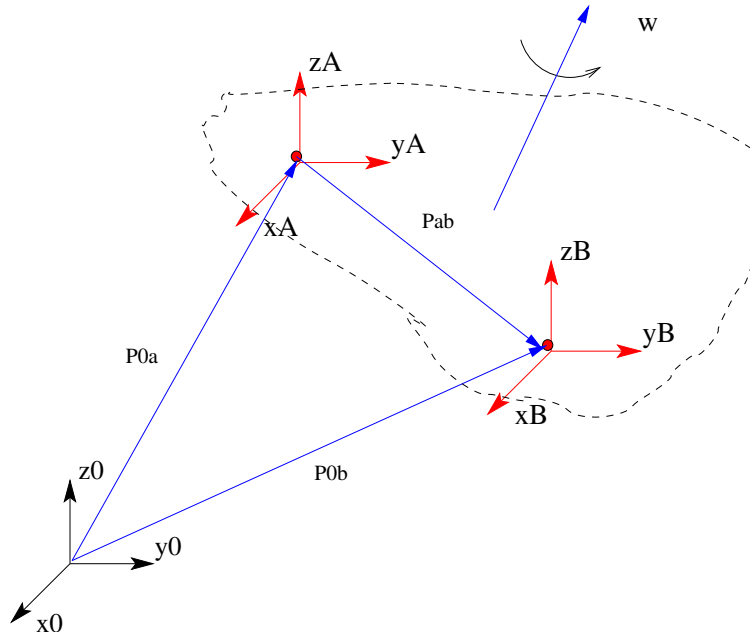
Voltar

Fechar

Outras relações



18/87



$$\begin{bmatrix} \vec{v}_b \\ \vec{\omega}_b \end{bmatrix} = \begin{bmatrix} \mathcal{I} & -\vec{p}_{ab} \times \\ 0 & \mathcal{I} \end{bmatrix} \begin{bmatrix} \vec{v}_a \\ \vec{\omega}_a \end{bmatrix}; \quad \begin{bmatrix} \vec{f}_a \\ \vec{\tau}_a \end{bmatrix} = \begin{bmatrix} \mathcal{I} & 0 \\ \vec{p}_{ab} \times & \mathcal{I} \end{bmatrix} \begin{bmatrix} \vec{f}_b \\ \vec{\tau}_b \end{bmatrix}$$



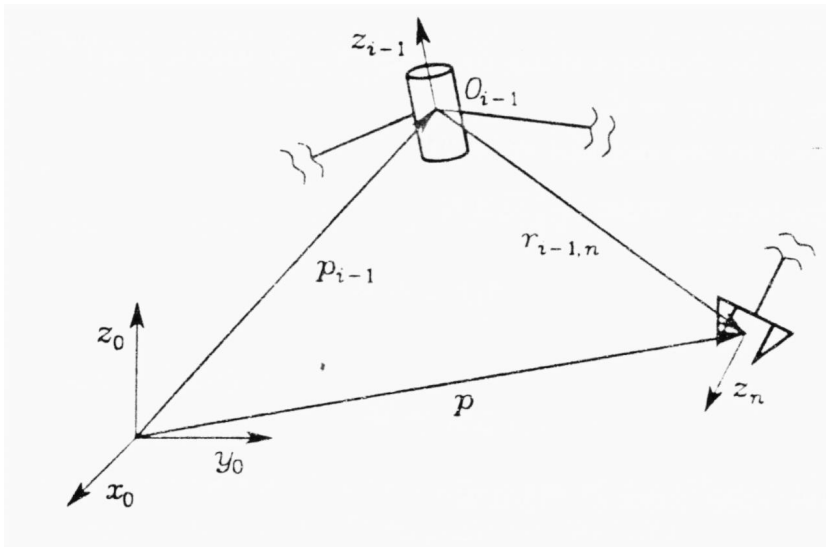
Voltar

Fechar



Cinemática diferencial do manipulador

No manipulador da figura a junta i é uma **junta de revolução**. Além disto, considere que as demais juntas estão **congeladas**, i.e., a única junta que esta movimentando-se é a junta i .



Voltar

Fechar

Para ficar independente da convenção de DH (standard ou modificada), o vetor \vec{h}_i fica sendo o eixo de rotação da junta i e $\vec{p}_{in} = \vec{r}_{i-1,n}$.

Por outro lado, os elos i até n definem um corpo rígido.

Neste corpo rígido, a velocidade em \bar{E}_{i-1} é dada por

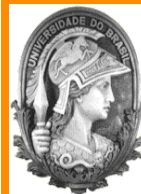
$$\begin{bmatrix} \vec{v}'_{i-1} \\ \vec{\omega}_{i-1} \end{bmatrix} = \begin{bmatrix} 0 \\ \vec{h}_i \end{bmatrix} \dot{\theta}_i \quad \text{junta de revolução}$$

ou

$$\begin{bmatrix} \vec{v}'_{i-1} \\ \vec{\omega}_{i-1} \end{bmatrix} = \begin{bmatrix} \vec{h}_i \\ 0 \end{bmatrix} \dot{\theta}_i \quad \text{junta prismática}$$

A velocidade em \bar{E}_n (solidário ao último elo) é dada por:

$$\begin{bmatrix} \vec{v}_n \\ \vec{\omega}_n \end{bmatrix} = \begin{bmatrix} \mathcal{I} & -\vec{p}_{in} \times \\ 0 & \mathcal{I} \end{bmatrix} \begin{bmatrix} \vec{v}'_{i-1} \\ \vec{\omega}_{i-1} \end{bmatrix};$$

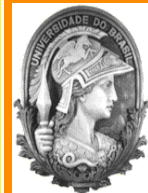


Consequentemente, se a junta i for de **revolução** tem-se:

$$\begin{bmatrix} \vec{v}_n \\ \vec{\omega}_n \end{bmatrix} = \begin{bmatrix} \vec{h}_i \times \vec{p}_{in} \\ \vec{h}_i \end{bmatrix} \dot{\theta}_i \quad \text{junta de revolução}$$

ou se a junta i for **prismática**

$$\begin{bmatrix} \vec{v}_n \\ \vec{\omega}_n \end{bmatrix} = \begin{bmatrix} \vec{h}_i \\ 0 \end{bmatrix} \dot{\theta}_i \quad \text{junta prismática}$$



21/87



Voltar

Fechar

Jacobiano Geométrico

Considerando que o Jacobiano pode ser particionado por:

$$\begin{bmatrix} \vec{v}_n \\ \vec{\omega}_n \end{bmatrix} = J_n \dot{\theta} = \begin{bmatrix} J_{p1} & \cdots & J_{pn} \\ J_{o1} & \cdots & J_{on} \end{bmatrix} \dot{\theta} = \begin{bmatrix} J_{p1} \\ J_{o1} \end{bmatrix} \dot{\theta}_1 + \cdots + \begin{bmatrix} J_{pn} \\ J_{on} \end{bmatrix} \dot{\theta}_n$$

a velocidade linear (\vec{v}_n) e angular ($\vec{\omega}_n$) é uma combinação linear de:

- $J_{pi} \dot{\theta}_i$ = Contribuição da junta i na velocidade linear do efetuador;
- $J_{oi} \dot{\theta}_i$ = Contribuição da junta i na velocidade angular do efetuador.

Então cada coluna do Jacobiano é composta por:

$$\begin{bmatrix} J_{pi} \\ J_{oi} \end{bmatrix} = \begin{bmatrix} \vec{h}_i \\ 0 \end{bmatrix} \text{ Prismática}$$

ou

$$\begin{bmatrix} J_{pi} \\ J_{oi} \end{bmatrix} = \begin{bmatrix} \vec{h}_i \times \vec{p}_{in} \\ \vec{h}_i \end{bmatrix} \text{ Revolução}$$



Considerando todas as contribuições

$$\begin{bmatrix} \vec{v}_n \\ \vec{\omega}_n \end{bmatrix} = J_n(\theta) \dot{\theta}$$

adicionalmente, considerando **juntas de revolução** tem-se:

$$J_n(\theta) = \begin{bmatrix} \vec{h}_1 \times \vec{p}_{1n} & \vec{h}_2 \times \vec{p}_{2n} & \cdots & \vec{h}_n \times \vec{p}_{nn} \\ \vec{h}_1 & \vec{h}_2 & \cdots & \vec{h}_n \end{bmatrix}$$

Para fins de computação, o Jacobiano deve ser expressido num sistema de coordenadas. Por exemplo na base \bar{E}_0 :

$$\begin{bmatrix} (\vec{v}_n)_0 \\ (\vec{\omega}_n)_0 \end{bmatrix} = (J_n)_0 \dot{\theta} = \begin{bmatrix} \widehat{(\vec{h}_1)_0}(\vec{p}_{1n})_0 & \widehat{(\vec{h}_2)_0}(\vec{p}_{2n})_0 & \cdots & \widehat{(\vec{h}_n)_0}(\vec{p}_{nn})_0 \\ (\vec{h}_1)_0 & (\vec{h}_2)_0 & \cdots & (\vec{h}_n)_0 \end{bmatrix} \dot{\theta}$$

As quantidades $(\vec{h}_i)_0, (\vec{p}_{in})_0$ podem ser obtidas da cinemática direta do manipulador, e.g.

$$(\vec{p}_{in})_0 = R_{0i} (\vec{p}_{i,i+1})_i + \cdots + R_{0,n-1} (\vec{p}_{n-1,n})_{n-1}$$





Por exemplo, para **DH Standard** tem-se que $\vec{z}_i = \vec{h}_{i+1}$.

Tem-se também que $\vec{p}_{in} = \vec{p}_{0n} - \vec{p}_{0i}$.

Estes vetores representados em \bar{E}_0 podem ser obtidos da transformação homogênea T_{0i} :

- $(\vec{z}_i)_0$ é a terceira coluna de R_{0i}
- $(\vec{p}_{0n})_0$ é a quarta coluna da transformação homogênea T_{0n}
- $(\vec{p}_{0i})_0$ é a quarta coluna da transformação homogênea T_{0i}

Note que o Jacobiano do manipulador depende do sistema de coordenadas onde a velocidade do efetuador é representada.

Desta forma a relação entre o Jacobiano representado em \bar{E}_0 e \bar{E}_n é dada por:

$$(J_n)_n = \begin{bmatrix} R_{0n}^T & 0 \\ 0 & R_{0n}^T \end{bmatrix} (J_n)_0$$



O Jacobiano também pode ser obtido em outro sistema de coordenadas, solidário ao elo n .

Considerando

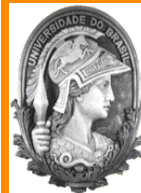
$$\vec{p}_{0E} = \vec{p}_{0n} + \vec{p}_{nE}$$

tem-se as seguintes relações de velocidades

$$\begin{bmatrix} \vec{v}_n \\ \vec{\omega}_n \end{bmatrix} = \begin{bmatrix} \mathcal{I} & \vec{p}_{nE} \times \\ 0 & \mathcal{I} \end{bmatrix} \begin{bmatrix} \vec{v}_E \\ \vec{\omega}_E \end{bmatrix}; \quad \begin{bmatrix} \vec{v}_E \\ \vec{\omega}_E \end{bmatrix} = \begin{bmatrix} \mathcal{I} & -\vec{p}_{nE} \times \\ 0 & \mathcal{I} \end{bmatrix} \begin{bmatrix} \vec{v}_n \\ \vec{\omega}_n \end{bmatrix}$$

Então o jacobiano no ponto E , J_E , em função de J_n é dado por:

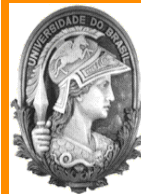
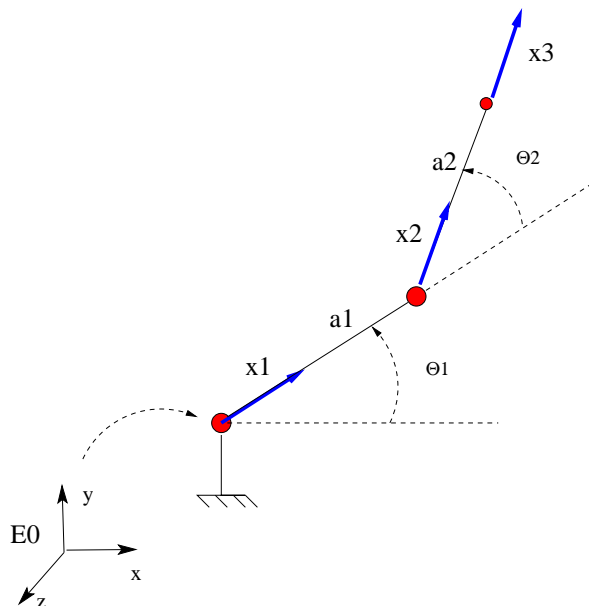
$$J_E = \begin{bmatrix} \mathcal{I} & -\vec{p}_{nE} \times \\ 0 & \mathcal{I} \end{bmatrix} J_n$$



Exemplo: Manipulador planar 2R

O jacobiano deste manipulador é dado por:

$$(J_3)_0 = \begin{bmatrix} (\vec{h}_1)_0 \times (\vec{p}_{13})_0 & (\vec{h}_2)_0 \times (\vec{p}_{23})_0 \\ (\vec{h}_1)_0 & (\vec{h}_2)_0 \end{bmatrix}$$



Por ser um manipulador planar tem-se que:

$$(\vec{h}_1)_0 = (\vec{h}_2)_0 = \begin{bmatrix} 0 \\ 0 \\ 1 \end{bmatrix}$$

e

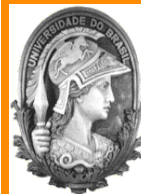
$$R_{01} = \begin{bmatrix} c_1 & -s_1 & 0 \\ s_1 & c_1 & 0 \\ 0 & 0 & 1 \end{bmatrix}; \quad R_{12} = \begin{bmatrix} c_2 & -s_2 & 0 \\ s_2 & c_2 & 0 \\ 0 & 0 & 1 \end{bmatrix}$$

Por outro lado:

$$\vec{p}_{13} = a_1 \vec{x}_1 + a_2 \vec{x}_2$$

e no sistema de coordenadas da base:

$$\begin{aligned} (\vec{p}_{13})_0 &= a_1 (\vec{x}_1)_0 + a_2 (\vec{x}_2)_0 = a_1 R_{01} (\vec{x}_1)_1 + a_2 R_{01} R_{12} (\vec{x}_2)_2 \\ &= \begin{bmatrix} a_1 c_1 + a_2 c_{12} \\ a_1 s_1 + a_2 s_{12} \\ 0 \end{bmatrix} \end{aligned}$$



Da mesma forma,

$$\vec{p}_{23} = a_2 \vec{x}_2$$

e no sistema de coordenadas da base:

$$(\vec{p}_{23})_0 = a_2 (\vec{x}_2)_0 = a_2 R_{01} R_{12} (\vec{x}_2)_2 = \begin{bmatrix} a_2 c_{12} \\ a_2 s_{12} \\ 0 \end{bmatrix}$$

Calculando

$$(\vec{h}_1)_0 \times (\vec{p}_{13})_0 = \begin{bmatrix} -a_1 s_1 - a_2 s_{12} \\ a_1 c_1 + a_2 c_{12} \\ 0 \end{bmatrix}; \quad (\vec{h}_2)_0 \times (\vec{p}_{23})_0 = \begin{bmatrix} -a_2 s_{12} \\ a_2 c_{12} \\ 0 \end{bmatrix}$$



tem-se que o jacobiano é dado por:

$$(J_3)_0 = \begin{bmatrix} -a_1 s_1 - a_2 s_{12} & -a_2 s_{12} \\ a_1 c_1 + a_2 c_{12} & a_2 c_{12} \\ 0 & 0 \\ 0 & 0 \\ 0 & 0 \\ 1 & 1 \end{bmatrix}$$

O Jacobiano no plano é dado por:

$$(J_{p3})_0 = \begin{bmatrix} -a_1 s_1 - a_2 s_{12} & -a_2 s_{12} \\ a_1 c_1 + a_2 c_{12} & a_2 c_{12} \end{bmatrix}$$





Cálculo Recursivo do Jacobiano

Em forma matricial tem-se:

$$\begin{bmatrix} \vec{v}_i \\ \vec{\omega}_i \end{bmatrix} = \begin{bmatrix} \mathcal{I} & -\vec{p}_{i-1,i} \times \\ 0 & \mathcal{I} \end{bmatrix} \begin{bmatrix} \vec{v}_{i-1} \\ \vec{\omega}_{i-1} \end{bmatrix} + H_i \dot{\theta}_i$$

onde

- para junta de revolução $H_i = \begin{bmatrix} 0 \\ \vec{h}_i \end{bmatrix}$
- para junta prismática $H_i = \begin{bmatrix} \vec{h}_i \\ 0 \end{bmatrix}$



Voltar

Fechar

Representando nos respectivos sistemas de coordenadas tem-se

$$\underbrace{\begin{bmatrix} (\vec{v}_i)_i \\ (\vec{\omega}_i)_i \end{bmatrix}}_{V_i} = \underbrace{\begin{bmatrix} R_{i,i-1} & -R_{i,i-1}(\widehat{\vec{p}_{i-1,i}})_i \\ 0 & R_{i,i-1} \end{bmatrix}}_{\Phi_{i,i-1}} \underbrace{\begin{bmatrix} (\vec{v}_{i-1})_{i-1} \\ (\vec{\omega}_{i-1})_{i-1} \end{bmatrix}}_{V_{i-1}} + (H_i)_i \dot{\theta}_i$$

onde

- para junta de revolução $(H_i)_i = \begin{bmatrix} 0 \\ (\vec{h}_i)_i \end{bmatrix}$
- para junta prismática $(H_i)_i = \begin{bmatrix} (\vec{h}_i)_i \\ 0 \end{bmatrix}$

ou numa forma mais compacta:

$$V_i = \Phi_{i,i-1} V_{i-1} + H_i \dot{\theta}_i$$



Operador Adjunto

Definido por:

$$\Phi_{i,i-1} = \begin{bmatrix} R_{i,i-1} & -R_{i,i-1}(\widehat{\vec{p}_{i-1,i}})_i \\ 0 & R_{i,i-1} \end{bmatrix}$$

satisfaz as propriedades de grupo:

$$\Phi_{ii} = I; \quad \Phi_{ij} = \Phi_{ji}^{-1}; \quad \Phi_{ij}\Phi_{jk} = \Phi_{ik}$$

Similar a um sistema linear discreto:

$$x_{k+1} = A_k x_k + B_k u_k, \quad \Phi_{k+1,k} = A_k, \quad \Phi_{ij} = A_{i-1} A_{i-2} \cdots A_j$$



32/87



Voltar

Fechar

Cálculo do Jacobiano

Definindo:

$$V = \begin{bmatrix} V_1 \\ \vdots \\ V_n \end{bmatrix} \quad \dot{\theta} = \begin{bmatrix} \dot{\theta}_1 \\ \vdots \\ \dot{\theta}_n \end{bmatrix} \quad E = \begin{bmatrix} \Phi_{10} \\ 0 \\ \vdots \\ 0 \end{bmatrix} \quad H = \begin{bmatrix} H_1 & \cdots & 0 \\ \vdots & \vdots & \vdots \\ 0 & \cdots & H_n \end{bmatrix}$$

tem-se

$$\begin{bmatrix} I & \cdots & \cdots & 0 \\ -\Phi_{21} & \ddots & \vdots & 0 \\ 0 & \ddots & \ddots & \vdots \\ 0 & \cdot & -\Phi_{n,n-1} & I \end{bmatrix} V = E V_o + H \dot{\theta}$$



33/87



Voltar

Fechar

Desta forma, V (a velocidade de todos os elos) pode ser calculada como:

$$V = \Phi (EV_0 + H\dot{\theta})$$

onde

$$\Phi = \begin{bmatrix} \Phi_{11} & \cdot & 0 \\ \vdots & \vdots & \vdots \\ \Phi_{n1} & \cdot & \Phi_{nn} \end{bmatrix}$$

Então definindo

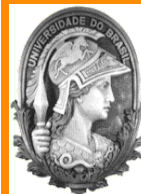
$$E_n = \begin{bmatrix} 0 \\ 0 \\ \vdots \\ I \end{bmatrix}$$

tem-se que a velocidade do elo n é dada por:

$$V_n = E_n^T \Phi (EV_0 + H\dot{\theta})$$

então se a base é fixa, i.e. $V_0 = 0$ então:

$$(J_n)_n = E_n^T \Phi H \quad \text{e} \quad (J_n)_0 = \begin{bmatrix} R_{0n} & 0 \\ 0 & R_{0n} \end{bmatrix} E_n^T \Phi H$$





Singularidade do Manipulador

Considerando

$$\begin{bmatrix} \vec{v} \\ \vec{\omega} \end{bmatrix} = J(\theta) \dot{\theta}$$

Uma singularidade acontece quando o Jacobiano perde posto.

Posto de J :

- # de colunas linearmente independentes de J ;
- # de direções independentes em $SE(3)$ nas quais o efetuador pode-se movimentar.

J é singular se:

- J perde posto ($\mathcal{R}(J)$ reduz de dimensão);
- J ganha DOF adicionais em self-motion ($\mathcal{N}(J)$ ganha dimensão).



Voltar

Fechar

A singularidade pode ser produto de:

- Mobilidade reduzida em algumas direções
- Infinitas soluções da cinemática inversa
- Numa vizinhança pequenas velocidades do efetuador causam grande velocidades nas juntas

Uma possível classificação é:

- **Singularidade de Fronteira:** devido a se encontrar na fronteira do workspace
- **Singularidade internas:** quando 2 ou mais eixos estão alinhados

O conhecimento das **SINGULARIDADES** do Jacobiano do Manipulador é **MUITO IMPORTANTE!**



36/87

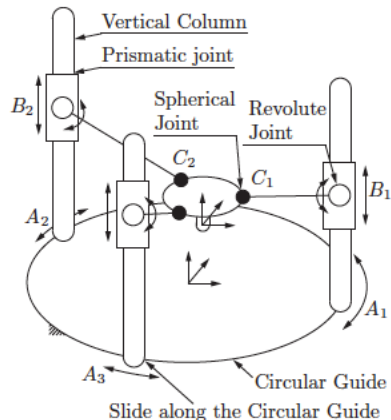


Voltar

Fechar

Exemplo do Eclipse:

Nos anos 2000 o lab do Frank Park na Seoul National University desenvolveu um robô paralelo para prototipagem rápida, chamado de Eclipse:



Singularidade: foram procuradas em forma numérica fazendo uma barredura em todas as configurações possíveis.

Testes experimentais do protótipo: o sistema atingiu uma singularidade que não tinha sido notada numericamente!!

Comunidade de robótica: grande esforço para estudar o problema.



Manipulador com Desacoplamento Cinemático

Considere um manipulador de 6DOF com um punho esférico. A posição do punho **não** varia com os ângulos das 3 últimas juntas.

Desta forma, a velocidade linear e angular do punho é dada por

$$\begin{bmatrix} \vec{v}_p \\ \vec{\omega}_p \end{bmatrix} = \begin{bmatrix} J_{11} & 0 \\ J_{21} & J_{22} \end{bmatrix} \begin{bmatrix} \dot{\theta}_b \\ \dot{\theta}_p \end{bmatrix}$$

onde θ_b é o vetor de ângulos das 3 primeiras juntas, e θ_p é o vetor de ângulos das 3 últimas juntas que compõem o punho esférico.

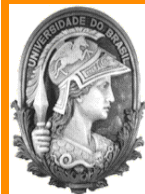
$J_{12} = 0$: dado que as juntas do punho não contribuem em \vec{v}_p .

Mais especificamente, considerando que $p_p = p_4 = p_5 = p_6$:

$$\begin{bmatrix} \vec{v}_p \\ \vec{\omega}_p \end{bmatrix} = \begin{bmatrix} \vec{h}_1 \times \vec{p}_{1p} & \vec{h}_2 \times \vec{p}_{2p} & \vec{h}_3 \times \vec{p}_{3p} & 0 & 0 & 0 \\ \vec{h}_1 & \vec{h}_2 & \vec{h}_3 & \vec{h}_4 & \vec{h}_5 & \vec{h}_6 \end{bmatrix} \begin{bmatrix} \dot{\theta}_b \\ \dot{\theta}_p \end{bmatrix}$$

Desta forma, dado que $J \in \mathbb{R}^{n \times n}$ tem-se:

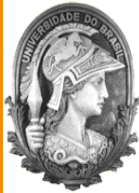
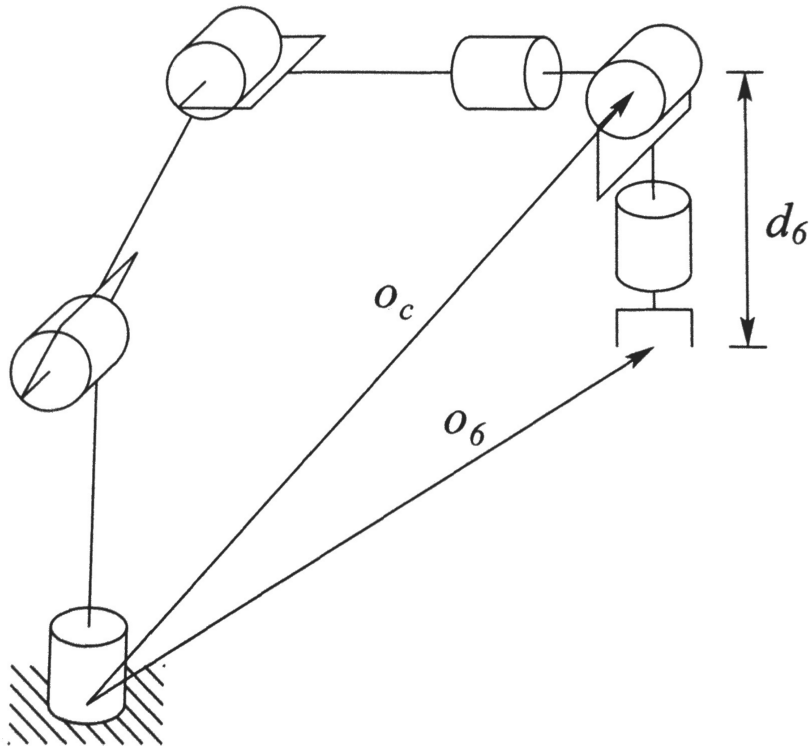
$$\det(J) = \det(J_{11}) \det(J_{22})$$



38/87



Manipulador Antropomorfo 6R



39/87



Voltar

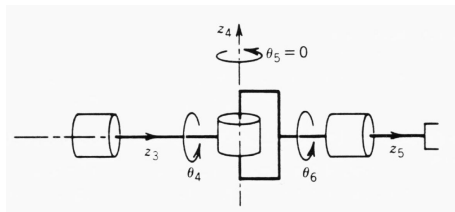
Fechar

Singularidade do Punho

Neste caso

$$J_{22} = \begin{bmatrix} \vec{h}_4 & \vec{h}_5 & \vec{h}_6 \end{bmatrix}$$

J_{22} é singular ($\det(J_{22}) = 0$) quando \vec{h}_4 e \vec{h}_6 são colineares, que acontece quando $\theta_5 = 0, \pm\pi$.



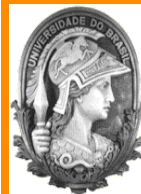
Singularidade do Braço

Neste caso, dado que $p_p = p_4 = p_5 = p_6$

$$J_{11} = \begin{bmatrix} \vec{h}_1 \times \vec{p}_{14} & \vec{h}_2 \times \vec{p}_{24} & \vec{h}_3 \times \vec{p}_{34} \end{bmatrix}$$

Notando que \vec{p}_{12} é colinear com \vec{h}_1 ; $\vec{h}_2 \parallel \vec{h}_3$; e fazendo ($c2=c2-c3$), tem-se

$$J_{11} \sim \begin{bmatrix} \vec{h}_1 \times \vec{p}_{24} & \vec{h}_2 \times \vec{p}_{23} & \vec{h}_2 \times \vec{p}_{34} \end{bmatrix}$$

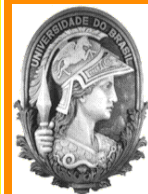
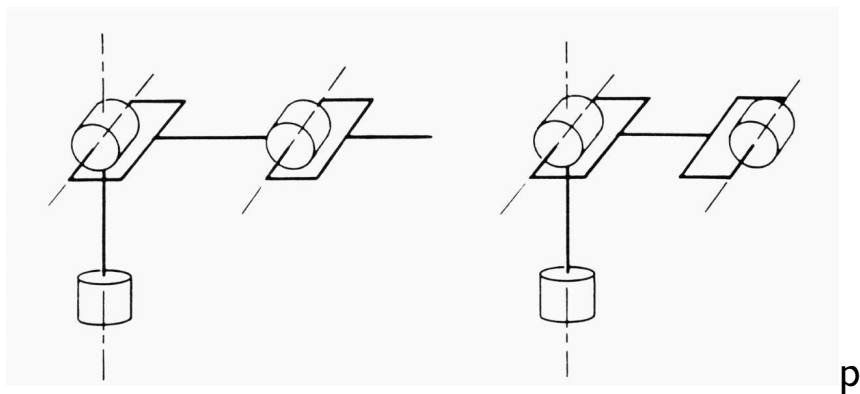
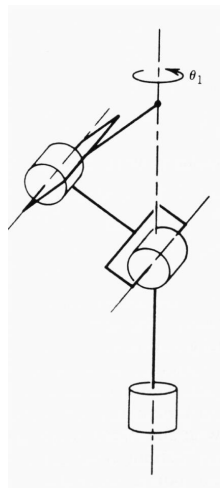


Então, em

$$J_{11} \sim \begin{bmatrix} \vec{h}_1 \times \vec{p}_{24} & \vec{h}_2 \times \vec{p}_{23} & \vec{h}_2 \times \vec{p}_{34} \end{bmatrix}$$

podem ser observadas 2 situações onde é perdido o posto:

1. \vec{h}_1 e \vec{p}_{24} colineares
2. \vec{p}_{23} e \vec{p}_{34} colineares



Este resultado pode ser validado numericamente calculando o jacobiano

$$h_1 = z; \quad h_2 = h_3 = -y; \quad R_{12} = e^{\hat{h}_2 \theta_2}; \quad R_{23} = e^{\hat{h}_3 \theta_3}$$

$$p_{01} = 0; \quad p_{12} = a_1 z; \quad p_{23} = a_2 x; \quad p_{34} = a_3 z$$

Representando o Jacobiano em \bar{E}_2

$$(J_{11})_2 \sim \left[\begin{array}{ccc} R_{12}^T(\vec{h}_1)_1 \times ((\vec{p}_{23})_2 + R_{23}(\vec{p}_{34})_3) & (\vec{h}_2)_2 \times (\vec{p}_{23})_2 & (\vec{h}_2)_2 \times R_{23}(\vec{p}_{34})_3 \end{array} \right]$$

$$(J_{11})_2 \sim \left[\widehat{e^{\hat{y}\theta_2} z} (a_2 x + a_3 e^{-\hat{y}\theta_3} z) \quad -a_2 \hat{y} x \quad -a_3 \hat{y} e^{-\hat{y}\theta_3} z \right]$$

$$(J_{11})_2 \sim \left[\begin{array}{ccc} 0 & 0 & -a_3 \cos(\theta_3) \\ a_2 \cos(\theta_2) - a_3 \sin(\theta_2 + \theta_3) & 0 & 0 \\ 0 & a_2 & -a_3 \sin(\theta_3) \end{array} \right]$$

O determinante é dado por:

$$\det(J_{11}) = -a_2 a_3 \cos(\theta_3) (a_2 \cos(\theta_2) - a_3 \sin(\theta_2 + \theta_3))$$

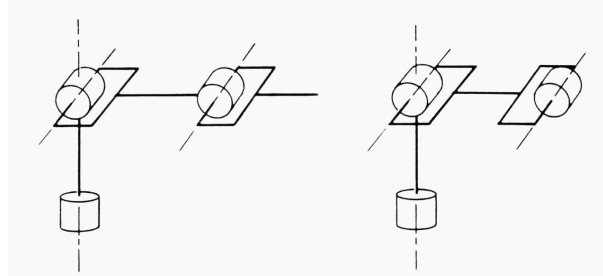


42/87

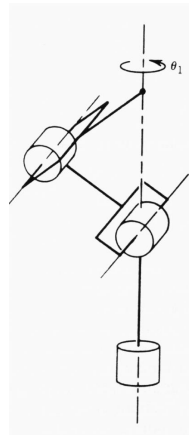


Existem 2 casos onde J_{11} é singular

1. $c_3 = 0 \implies \theta_3 = \pm\pi/2$ (Esticado)



2. $a_2c_2 - a_3s_{23} \implies p_x = p_y = 0$ (No topo da cabeça)



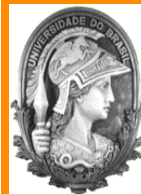
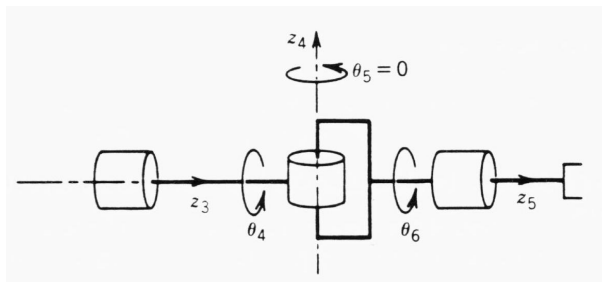
Singularidade Genéricas: 6 DOF e juntas de revolução

1. Duas juntas colineares

Considerando $\vec{z}_i = \pm \vec{z}_j$ (paralelas ou colineares) e operando colunas (col2 = col1 - col2) tem-se

$$\begin{bmatrix} \vec{z}_i \times \vec{p}_{in} & \vec{z}_j \times \vec{p}_{jn} \\ \vec{z}_i & \vec{z}_j \end{bmatrix} \sim \begin{bmatrix} \vec{z}_i \times \vec{p}_{in} & \vec{z}_i \times \vec{p}_{ij} \\ \vec{z}_i & 0 \end{bmatrix}$$

Perdendo posto e sendo conseqüentemente linearmente dependentes quando $\vec{p}_{ij} \times \vec{z}_i = 0$, que implica que as juntas são colineares.





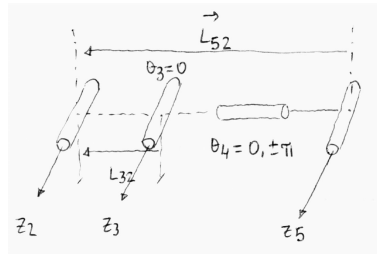
2. Três juntas paralelas coplanares

Neste caso,

$$\vec{z}_i = \pm \vec{z}_j = \pm \vec{z}_k \quad (\text{paralelas})$$

e existe um plano comum que contém $\vec{z}_i, \vec{z}_j, \vec{z}_k$ e consequentemente $\vec{z}_i, \vec{p}_{ij}, \vec{p}_{ik}$.

Isto é, existe \vec{n} tal que $\vec{n} \cdot \vec{z}_i = 0; \quad \vec{n} \cdot \vec{p}_{ij} = 0; \quad \vec{n} \cdot \vec{p}_{ik} = 0$.



Operando colunas

$$\begin{bmatrix} \vec{z}_i \times \vec{p}_{in} & \vec{z}_j \times \vec{p}_{jn} & \vec{z}_k \times \vec{p}_{kn} \\ \vec{z}_i & \vec{z}_j & \vec{z}_k \end{bmatrix} \sim \begin{bmatrix} \vec{z}_i \times \vec{p}_{in} & \vec{z}_i \times \vec{p}_{ij} & \vec{z}_i \times \vec{p}_{ik} \\ \vec{z}_i & 0 & 0 \end{bmatrix}$$

Dado que $(\vec{z}_i, \vec{p}_{ij}, \vec{p}_{ik})$ são coplanares, as duas últimas colunas são linearmente dependentes.

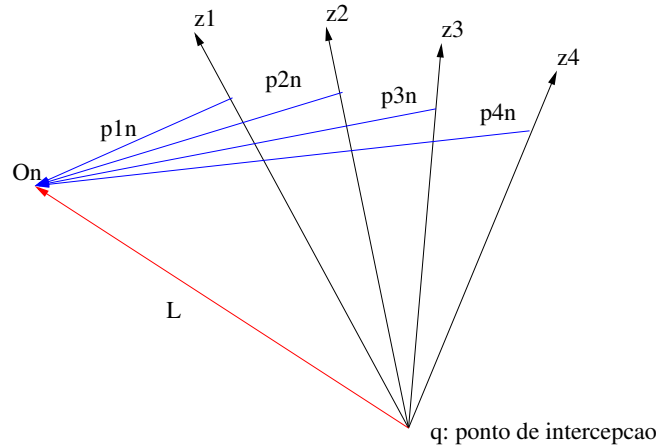




3. Quatro juntas interceptando num ponto

Existe \vec{L} tal que $\vec{z}_i \times (\vec{p}_{in} - \vec{L}) = 0, \forall i = 1, 2, 3, 4$.

Implica que $\vec{z}_i \times \vec{p}_{in} = \vec{z}_i \times \vec{L}$



Operando colunas

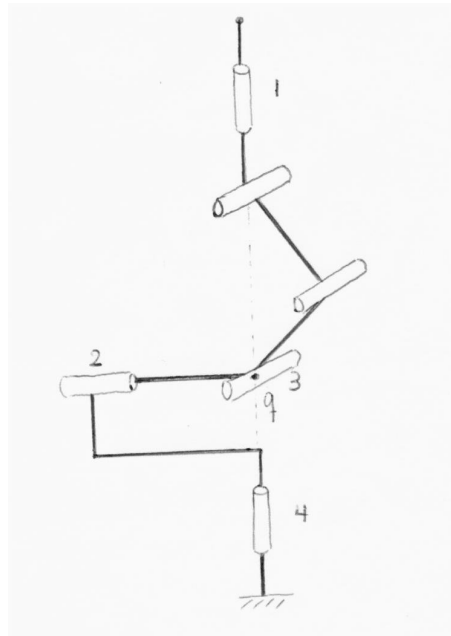
$$\begin{bmatrix} \vec{z}_1 \times \vec{p}_{1n} & \vec{z}_2 \times \vec{p}_{2n} & \vec{z}_3 \times \vec{p}_{3n} & \vec{z}_4 \times \vec{p}_{4n} \\ \vec{z}_1 & \vec{z}_2 & \vec{z}_3 & \vec{z}_4 \end{bmatrix} \sim \begin{bmatrix} \vec{z}_1 \times \vec{L} & \vec{z}_2 \times \vec{L} & \vec{z}_3 \times \vec{L} & \vec{z}_4 \times \vec{L} \\ \vec{z}_1 & \vec{z}_2 & \vec{z}_3 & \vec{z}_4 \end{bmatrix}$$



Pré-multiplicando por $\begin{bmatrix} \mathcal{I} & \vec{L} \times \\ 0 & \mathcal{I} \end{bmatrix}$ obtém-se $\begin{bmatrix} 0 & 0 & 0 & 0 \\ \vec{z}_1 & \vec{z}_2 & \vec{z}_3 & \vec{z}_4 \end{bmatrix}$.

Que tem **Posto máximo = 3**.

Exemplo: Inverse Elbow



47/87



Voltar

Fechar

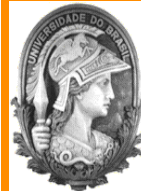
4. Três juntas coplanares interceptando num ponto

Com os mesmos argumentos anteriores pode ser obtido que o Jacobiano é similar a:

$$\begin{bmatrix} \vec{z}_i \times \vec{p}_{in} & \vec{z}_j \times \vec{p}_{jn} & \vec{z}_k \times \vec{p}_{kn} \\ \vec{z}_i & \vec{z}_j & \vec{z}_k \end{bmatrix} \sim \begin{bmatrix} \vec{z}_i \times \vec{L} & \vec{z}_j \times \vec{L} & \vec{z}_k \times \vec{L} \\ \vec{z}_i & \vec{z}_j & \vec{z}_k \end{bmatrix}$$

Pré-multiplicando por $\begin{bmatrix} \mathcal{I} & \vec{L} \times \\ 0 & \mathcal{I} \end{bmatrix}$ obtém-se $\begin{bmatrix} 0 & 0 & 0 \\ \vec{z}_i & \vec{z}_j & \vec{z}_k \end{bmatrix}$.

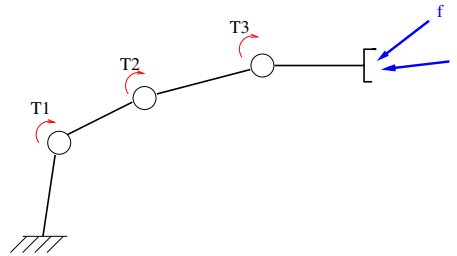
Dado que $\vec{z}_i, \vec{z}_j, \vec{z}_k$ são coplanares, o máximo posto é 2.





Dualidade Força/Velocidade

Considerando um manipulador



tem-se que a velocidade do efetuador, a F/T s aplicados ao efetuador e os torques aplicados nas juntas são dados por:

$$\vec{V}_n = \begin{bmatrix} \vec{v}_n \\ \vec{\omega}_n \end{bmatrix}; \quad \vec{F}_n = \begin{bmatrix} \vec{f}_n \\ \vec{t}_n \end{bmatrix}; \quad \tau = \begin{bmatrix} \tau_1 \\ \vdots \\ \tau_n \end{bmatrix}$$

Pela conservação da potência tem-se que:

$$\tau \cdot \dot{\theta} = \vec{F}_n \cdot \vec{V}_n = \vec{F}_n \cdot J(\theta) \dot{\theta}$$



Pela definição de operador adjunto, $\vec{F}_n \cdot J\dot{\theta} = J^* \vec{F}_n \cdot \dot{\theta}$, tem-se que

$$\tau \cdot \dot{\theta} = J^*(\theta) \vec{F}_n \cdot \dot{\theta}$$

Portanto, por comparação tem-se

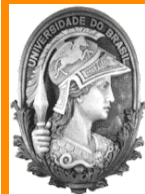
$$\tau = J^*(\theta) \vec{F}_n$$

Conseqüentemente numa dado sistema de coordenadas, e.g. $\bar{\bar{E}}_0$, tem-se

$$\tau = J_0^T(\theta) (\vec{F}_n)_0$$

onde J_0 é o jacobiano do manipulador representado nos sistema de coordenadas $\bar{\bar{E}}_0$.

Esta equação relaciona as F/Ts aplicadas no efetuador com o torque aplicado nas juntas.



50/87



Voltar

Fechar



Manipuladores Redundantes

Um manipulador é redundante se:

$\# \text{ de grau de mobilidade} > \# \text{ DOF da tarefa}$

- Cinemática direta e Jacobiano: igual não redundantes
- Singularidades: perda de posto do Jacobiano
- Cinemática Inversa: sempre \exists uma família de soluções.

Exemplos:

- Manipulador planar com 4 juntas e tarefa de 3 DOF (posição e orientação)
- Manipulador planar com 3 juntas e tarefa de 2 DOF (posição)
- Braço de 7 juntas e tarefa em $SE(3)$.



Voltar

Fechar



Manipulabilidade

A manipulabilidade é uma medida da distância que uma dada configuração esta da singularidade do Jacobiano do Manipulador $J(\theta)$.

No caso de manipuladores redundantes, $J(\theta)$ não é uma matriz quadrada. A **decomposição por valores singulares SVD** é uma forma de generalizar os conceito de autovalores e autovetores.

No caso de manipuladores redundante $J(\theta) \in \mathbb{R}^{m \times n}$ com $n > m$. Os valores singulares de J são definido a partir dos autovalores e autovetores da matriz quadrada (simetrica) JJ^T , i.e.,

$$JJ^T u_i = \lambda_i u_i$$

de forma que os **valores singulares de J** são definidos como:

$$\sigma_i = \sqrt{\lambda_i}$$



Então compondo os autovetores u_i na matriz $U = [u_1 \cdots u_m] \in \mathbb{R}^{m \times m}$, tem-se

$$J J^T U = U \Sigma_m^2; \quad \Sigma_m = \begin{bmatrix} \sigma_1 & \cdots & 0 \\ \vdots & \vdots & \vdots \\ 0 & \cdots & \sigma_m \end{bmatrix}$$

onde $\sigma_m \leq \sigma_i \leq \sigma_1$; e U satisfaz $U U^T = I_m$.

Considerando $V_m = J^T U \Sigma_m^{-1}$ tem-se que $J V_m = U \Sigma_m$.

Pode-se então definir:

$$V = [v_1 \cdots v_n] = [V_m \ V_{n-m}] \in \mathbb{R}^{n \times n}$$

onde V_{n-m} satisfaz $J V_{n-m} = 0$, sendo V uma matriz ortogonal ($V^T V = I_n$). De fato, V são os autovetores de $J^T J$.

Tem-se então que:

$$\begin{aligned} U [\Sigma_m \ 0] \begin{bmatrix} V_m^T \\ V_{n-m}^T \end{bmatrix} &= U \Sigma_m V_m^T \\ &= U \Sigma_m (J^T U \Sigma_m^{-1})^T = U \Sigma_m \Sigma_m^{-1} U^T J = J \end{aligned}$$



Chegasse então à decomposição SVD dada por:

$$J = U \Sigma V^T;$$

com

$$\Sigma = \begin{bmatrix} \sigma_1 & \cdots & 0 & 0 & \cdot & 0 \\ \vdots & \vdots & \vdots & 0 & \vdots & 0 \\ 0 & \cdots & \sigma_m & 0 & \cdot & 0 \end{bmatrix} = [\Sigma_m \ 0];$$

$$\sigma_m \leq \sigma_i \leq \sigma_1;$$

$$UU^T = I_m;$$

$$V^T V = I_n.$$



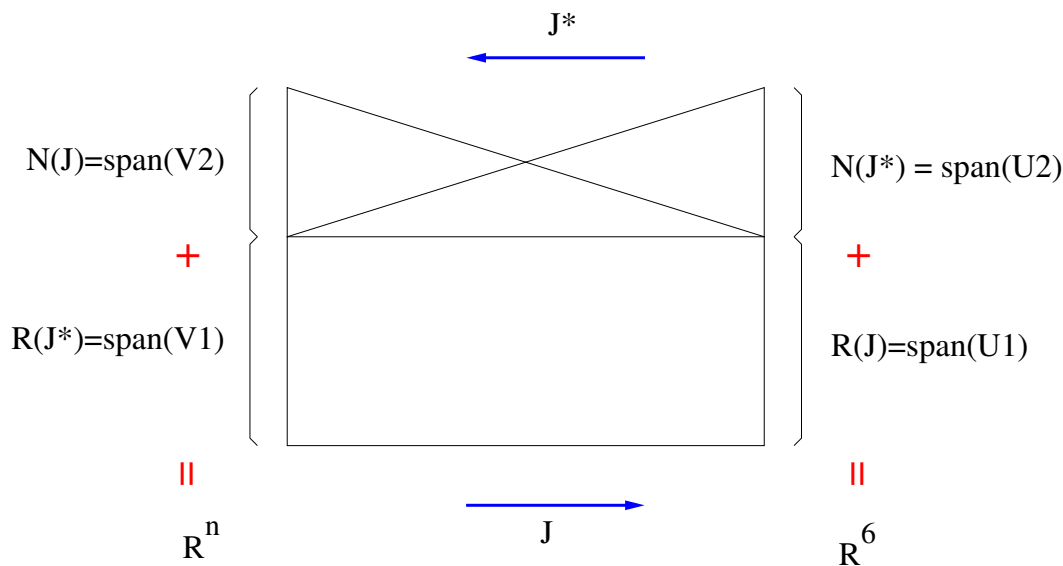
54/87



Voltar

Fechar

Em forma geral, a decomposição SVD deixa em evidência as seguintes relações:



onde

$$J = [U_1 \ U_2] \begin{bmatrix} \Sigma_1 & 0 \\ 0 & 0 \end{bmatrix} \begin{bmatrix} V_1^T \\ V_2^T \end{bmatrix}$$

e J^* é a adjunta de J , que no caso de ser uma matriz é a transposta $J^T = V \Sigma U^T$.

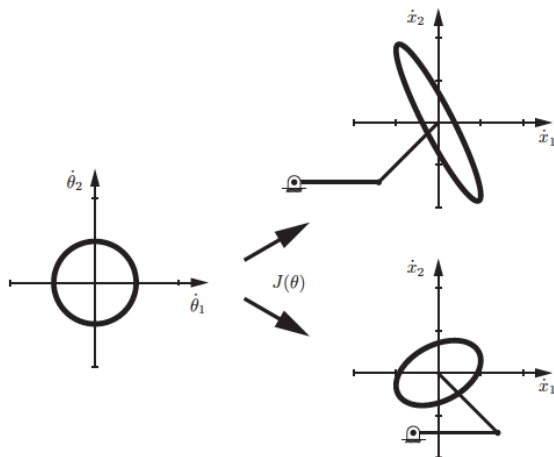


Elipsóide de Manipulabilidade

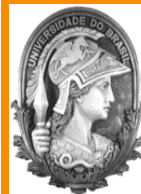
Para ilustrar o conceito de manipulabilidade, considera-se um manipulador planar 2R.

O Jacobiano mapeia as velocidade das juntas $\dot{\theta}$ para a velocidade do efetuador \dot{x} , i.e. $\dot{x} = J(\theta) \dot{\theta}$

A figura ilustra o mapeamento do círculo unitário no espaço $\dot{\theta}_1 - \dot{\theta}_2$ em duas configurações diferentes:



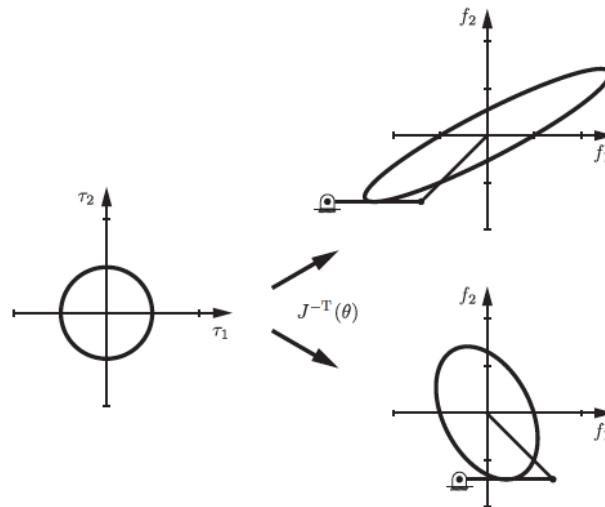
A ellipse no espaço \dot{x} é chamada de Elipsoide de Manipulabilidade.





Por outro lado, considerando a dualidade do Jacobiano, em que os torques das juntas τ é mapeado para a força no efetuador f através de $f = J^{-T}(\theta) \tau$.

A figura ilustra o mapeamento do círculo unitário no espaço $\tau_1 - \tau_2$ em duas configurações diferentes:

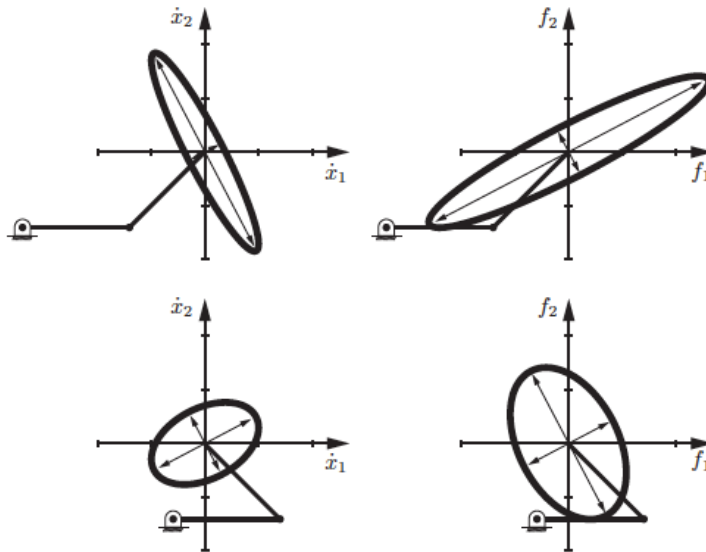


A elipse no espaço f é chamada de Elipsoide de Força.

Estudando estes elipsoides pode ser determinadas as configuradores de-

sejadas e a distância à singularidades.

Na figura são comparados os elipsoides de manipulabilidade e de força:



58/87



Voltar

Fechar

A decomposição SVD é uma ferramenta útil para estudar a **transformação linear** $v = J \dot{\theta}$.

Segundo uma interpretação geométrica, J transforma uma **esfera unitária em \mathbb{R}^n** definida como $\|\dot{\theta}\| = 1$ num conjunto de vetores que definem um **elipsoide em \mathbb{R}^m** . Os valores singulares são os comprimentos dos eixos do elipsoide.

De fato tem-se

$$\dot{\theta}^T \dot{\theta} = v^T (J^\dagger)^T J^\dagger v$$

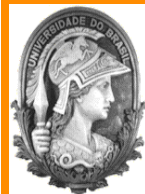
com $J^\dagger = J^T (J J^T)^{-1}$ sendo a pseudo-inversa a direita, i.e. $J J^\dagger = I$.

Após manipulações algébricas, considerando que $J J^T = (J J^T)^T$, obtém-se:

$$\dot{\theta}^T \dot{\theta} = v^T (J J^T)^{-1} v = v^T (U \Sigma V^T V \Sigma U^T)^{-1} v$$

e dado que $U^{-1} = U^T$ tem-se

$$\dot{\theta}^T \dot{\theta} = v^T U \Sigma_m^{-2} U^T v$$



59/87



Voltar

Fechar

Definindo $\bar{v} = U^T v$ tem-se

$$\dot{\theta}^T \dot{\theta} = \bar{v}^T \Sigma_m^{-2} \bar{v} = 1$$

ou em forma equivalente

$$\sigma_1^{-2} \bar{v}_1^2 + \sigma_2^{-2} \bar{v}_2^2 + \cdots + \sigma_{m-1}^{-2} \bar{v}_{m-1}^2 + \sigma_m^{-2} \bar{v}_m^2 = 1$$

que representa um elipsóide alinhado com os eixos \bar{v} .

Dado que U^T é uma matriz de rotação (por ser ortogonal), no espaço v tem-se um **elipsóide com os eixos dados pelos vetores $\sigma_i u_i$** .



60/87



Voltar

Fechar

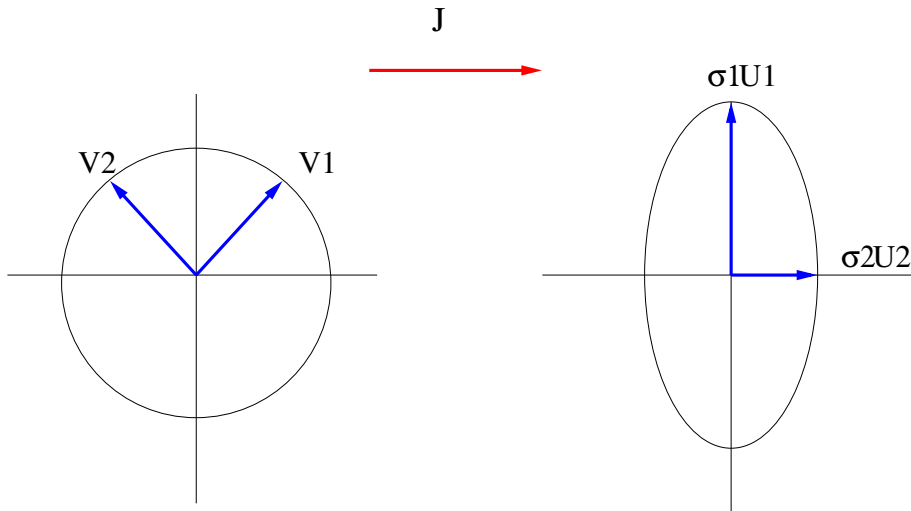


1. Cinemática ($v = J(\theta) \dot{\theta}$)

Nesta caso considera-se $\|\dot{\theta}\| = 1$, com isto:

$$\dot{\theta}^T \dot{\theta} = v^T U \Sigma_m^{-2} U^T v = 1$$

definindo um elipsoide com eixos principais $\sigma_1 u_1, \dots, \sigma_m u_m$:



u_1 : direção preferencial com respeito ao movimento,

Melhor caso: $\sigma_1 = \sigma_2 \neq 0$.



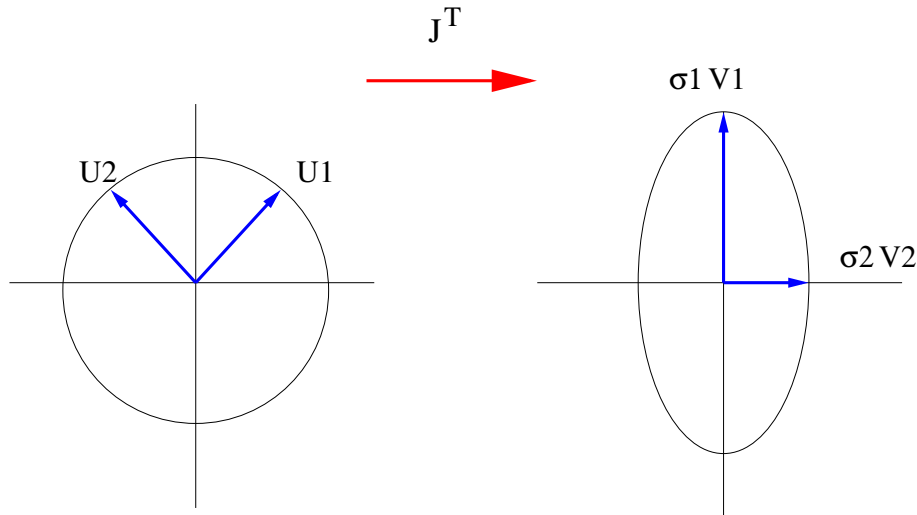
62/87

2. Estática ($\tau = J^T(\theta) F$)

Nesta caso considera-se $\|F\| = 1$, com isto:

$$F^T F = \tau^T V_m \Sigma_m^{-2} V_m^T \tau = 1$$

definindo um elipsoide com eixos principais $\sigma_1 V_1, \dots, \sigma_m V_m$:



v_2 : direção preferencial do ponto de vista mecânico,

Melhor caso: $\sigma_2 = 0$ que implica J singular.



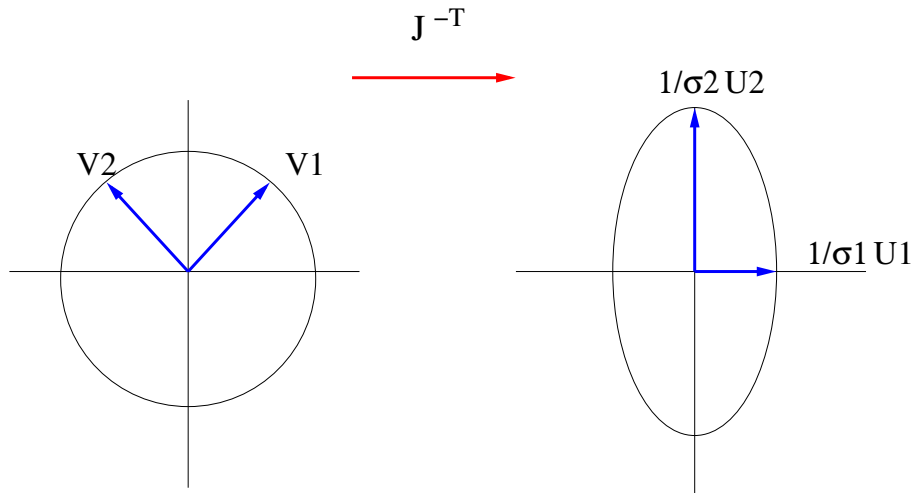


3. Estática ($\tau = J^T(\theta) F$)

Nesta caso considera-se $\|\tau\| = 1$, com isto:

$$\tau^T \tau = F^T U \Sigma_m^2 U^T F = 1$$

definindo um elipsoide com eixos principais $\sigma_1^{-1}u_1, \dots, \sigma_m^{-1}u_m$:



v_2 : direção preferencial do ponto de vista mecânico,

Melhor caso: $\sigma_2 = 0$ que implica J singular.

Medidas de Manipulabilidade

Considerando $J \in \mathbb{R}^{m \times n}$ as possíveis medidas de manipulabilidade são:

-

$$\sqrt{\det(JJ^T)} = \sigma_1 \cdots \sigma_n$$

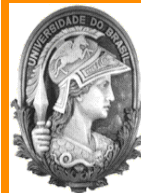
O problema aqui é que a escolha pode não ser boa se a relação entre o menor e maior valor singular for grande.

-

$$\sigma_{\min}(J)$$

- Número de condição:

$$c = \frac{\sigma_{\min}(J)}{\sigma_{\max}(J)}$$



64/87



Voltar

Fechar

Manipulabilidade: manipulador não redundante

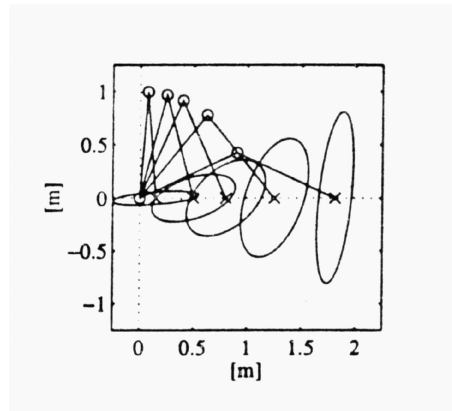
No caso de manipuladores não redundantes, i.e., $J \in \mathbb{R}^{n \times n}$ tem-se que

$$\sqrt{\det(JJ^T)} = |\det(J)|$$

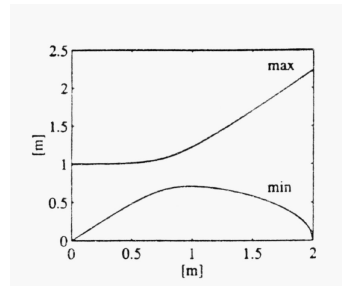
Exemplo: Manipulador de 2 elos.

Manipulabilidade $w(\theta) = \sqrt{\det(JJ^T)}$. No caso de $m = n$ tem-se que

$$w(\theta) = |\det(J(\theta))| = a_1 a_2 |\sin(\theta_2)|$$



Graficando $\sigma_{min}(J), \sigma_{max}(J)$ em função da posição x :

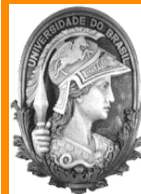
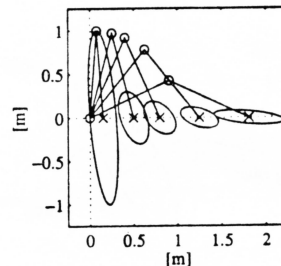


Elipsóide de Manipulabilidade de Força

Considera $\tau^T \tau = 1$ tendo portanto

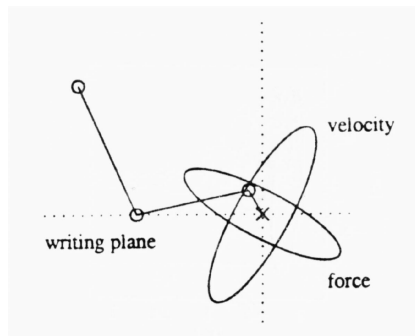
$$\tau^T \tau = f^T J(\theta) J^T(\theta) f = f^T U \Sigma_m^2 U^T f = 1$$

definindo um elipsoide com eixos principais $\sigma_1^{-1} U_1, \dots, \sigma_m^{-1} U_m$:

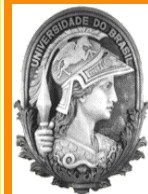
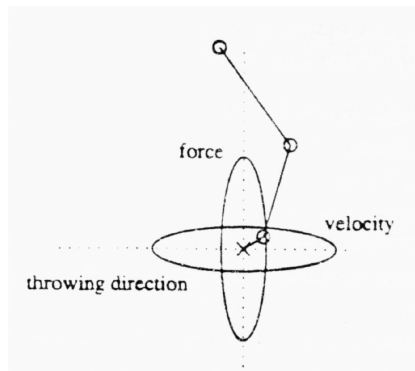


Exemplo: Manipulador planar de 3 elos (braço+antebraço+mão).

1. Escrevendo no plano horizontal



2. Arremessando um peso horizontalmente



67/87





Jacobiano Analítico

Considerando que a **orientação** $R \in SO(3)$ pode ser representada por uma **parametrização** ϕ (e.g., RPY, quaternions, etc), sendo desta forma a cinemática direta dada

$$x = \begin{bmatrix} p \\ \phi \end{bmatrix} = k(\theta)$$

temos que derivando com respeito ao tempo

$$\dot{x} = \frac{\partial k(\theta)}{\partial \theta} \dot{\theta} = J_a(\theta) \dot{\theta}$$

onde $J_a(\theta) = \frac{\partial k(\theta)}{\partial \theta}$.

Note que esta expressão é **diferente à do Jacobiano Geométrico**: $\begin{bmatrix} v \\ \omega \end{bmatrix} =$

$J(\theta)\dot{\theta}$. Logo calcularemos uma **relação entre $\dot{\phi}$ e ω** .



Relação entre Jacobiano Geométrico e Analítico

Tem-se em condições de estabelecer uma **relação** entre o **Jacobiano Geométrico** e o **Jacobiano Analítico**.

Tem-se as seguintes 3 relações:

$$V = \begin{bmatrix} v \\ \omega \end{bmatrix} = J(\theta) \dot{\theta}; \quad \dot{x} = \begin{bmatrix} \dot{p} \\ \dot{\phi} \end{bmatrix} = J_a(\theta) \dot{\theta}; \quad \dot{\phi} = J_R(\phi)\omega$$

onde $J_r(\phi)$ é o **Jacobiano da Representação**.

Então pode-se estabelecer que ($v = \dot{p}$)

$$\dot{x} = \begin{bmatrix} \dot{p} \\ \dot{\phi} \end{bmatrix} = \begin{bmatrix} I & 0 \\ 0 & J_R(\phi) \end{bmatrix} \begin{bmatrix} v \\ \omega \end{bmatrix} = T_R(x) V$$

e portanto

$$\dot{x} = \underbrace{T_r(x)J(\theta)}_{J_a(\theta)} \dot{\theta}$$

com

$$\boxed{J_a(\theta) = T_R(x) J(\theta)}$$





70/87

Jacobiano da Representação

Relação entre ω e a derivada da representação da orientação $\dot{\phi}$.

Considere uma representação ϕ da orientação $R \in SO(3)$. É possível estabelecer uma relação

$$\dot{\phi} = J_R(\phi) \omega$$

A função $J_R(\phi)$ depende da representação escolhida.

Do ponto de vista físico, o significado de ω é mais intuitivo que $\dot{\phi}$.

Por outro lado, a integral de $\dot{\phi}$ no tempo dá como resultado ϕ , mas a integral de ω não tem nenhuma interpretação física.



Voltar

Fechar

Exemplo: Considere um corpo rígido com orientação conhecida em $t = 0$. Considere os seguinte 2 perfis de velocidade:

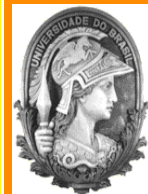
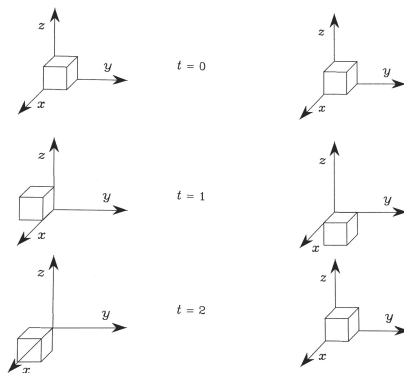
1. $\omega = [\pi/2 \ 0 \ 0]^T$ para $0 \leq t \leq 1$ e $\omega = [0 \ \pi/2 \ 0]^T$ para $1 \leq t \leq 2$.

2. $\omega = [0 \ \pi/2 \ 0]^T$ para $0 \leq t \leq 1$ e $\omega = [\pi/2 \ 0 \ 0]^T$ para $1 \leq t \leq 2$.

A integral de ω dá o mesmo resultado para os 2 casos:

$$\int_0^2 \omega \, dt = [\pi/2 \ \pi/2 \ 0]^T$$

mas a orientação final do corpo rígido correspondente aos 2 casos, é diferente.



Representação Exponencial

Neste caso, tem-se que como $R = e^{\theta \hat{k}}$ com $k \in \mathbb{R}^3$ e $\|k\| = 1$, a representação é dada por $\{k, \theta\}$.

Considerando

$$\begin{aligned} R &= I + \sin(\theta) \hat{k} + (1 - \cos(\theta)) \hat{k}^2 \\ &= \cos(\theta) I + \sin(\theta) \hat{k} + (1 - \cos(\theta)) k k^T \end{aligned}$$

e que $\dot{R} = \omega \times R = \hat{\omega} R$ implica que

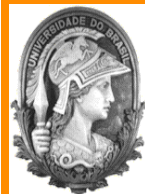
$$\hat{\omega} = \dot{R} R^T$$

calculando \dot{R} da formula de Rodrigues com $\theta(t)$ e $k(t)$, tem-se

$$\hat{\omega} = \dot{\theta} \hat{k} + (1 - \cos(\theta)) \widehat{\hat{k} \dot{k}} - \sin(\theta) \hat{k}$$

e portanto

$$\omega = \dot{\theta} k + (1 - \cos(\theta)) \hat{k} \dot{k} - \sin(\theta) \dot{k}$$



Em forma matricial

$$\omega = \begin{bmatrix} k & (1 - \cos(\theta)) \hat{k} - \sin(\theta)I \end{bmatrix} \begin{bmatrix} \dot{\theta} \\ \dot{k} \end{bmatrix}$$

Que representa a relação entre ω e $\{\dot{\theta}, \dot{k}\}$. Note que se k é fixo, então $\omega = \dot{\theta}k$.

Concluindo, a relação entre a derivada da representação e a velocidade angular ω é dada por,

$$\begin{bmatrix} \dot{\theta} \\ \dot{k} \end{bmatrix} = J_R(\phi) \omega,$$

onde

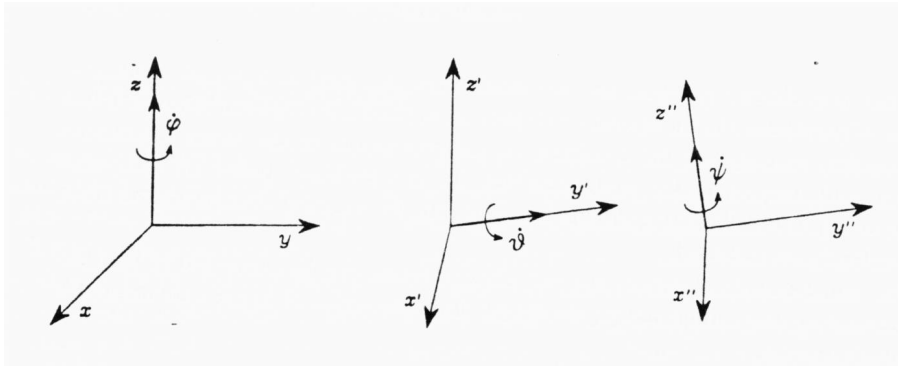
$$J_R(\theta, k) = \begin{bmatrix} k^T \\ -1/2 [\hat{k} + \cot g(\theta/2) \hat{k}^2] \end{bmatrix} \in \mathbb{R}^{4 \times 3}$$

O jacobiano é **singular** para $\theta = 0$.



Representações Mínimas: Ângulos de Euler (ZYZ)

Considerando as rotações dada pelos ângulos de Euler



Rotação ao redor \vec{z} :

$$\omega_z = [0 \ 0 \ 1]^T \dot{\phi};$$

Ápos a rotação $R_z(\phi)$, segue uma rotação ao redor \vec{y}' :

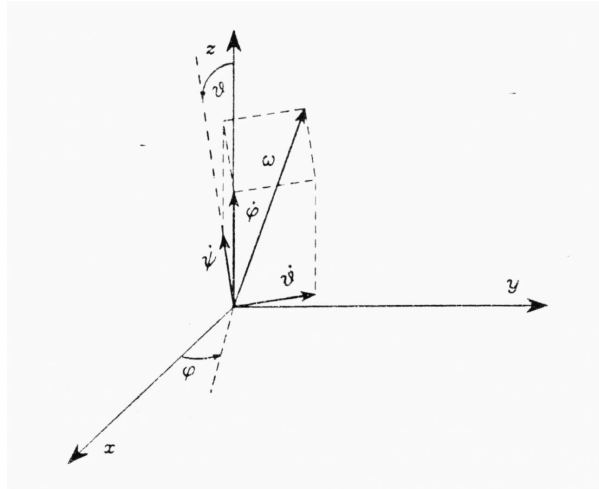
$$\omega_y = [-s\phi \ c\phi \ 0]^T \dot{\theta}$$

Ápos a rotação $R_z(\phi)R_y(\theta)$, segue uma rotação ao redor \vec{z}'' :

$$\omega_z = [c\phi s\theta \ s\phi s\theta \ c\theta]^T \dot{\psi}$$



Geometricamente, tem-se



Compondo tem-se

$$\omega = \begin{bmatrix} 0 & -s\phi & c\phi s\theta \\ 0 & c\phi & s\phi s\theta \\ 1 & 0 & c\theta \end{bmatrix} \begin{bmatrix} \dot{\phi} \\ \dot{\theta} \\ \dot{\psi} \end{bmatrix}; \quad \begin{bmatrix} \dot{\phi} \\ \dot{\theta} \\ \dot{\psi} \end{bmatrix} = \overbrace{\frac{1}{s\theta} \begin{bmatrix} -c\phi c\theta & -s\phi c\theta & 1 \\ -s\phi s\theta & c\phi s\theta & 0 \\ c\phi & s\phi & 0 \end{bmatrix}}^{J_R(\phi, \theta, \psi)} \omega$$

O jacobiano é **singular** para $\theta = 0, \pm\pi$.



75/87



Roll-Pitch-Yaw

Considerando os ângulos ψ (roll), θ (pitch) e ϕ (yaw) tem-se

$$\begin{bmatrix} \dot{\psi} \\ \dot{\theta} \\ \dot{\phi} \end{bmatrix} = \overbrace{\frac{1}{c\theta} \begin{bmatrix} c\theta & s\psi s\theta & c\psi s\theta \\ 0 & c\psi c\theta & -s\psi c\theta \\ 0 & s\psi & c\psi \end{bmatrix}}^{J_R(\psi, \theta, \phi)} \omega$$

O jacobiano é **singular** para $\theta = \pi/2$.



76/87



Voltar

Fechar

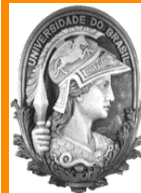
Representações Mínimas: Generalização

Teorema:

Dados $s \in \mathbb{R}^3$ e $A \in \mathbb{R}^{3 \times 3}$, e definindo $\text{vect}(A) = (A - A^T)^\vee$, tem-se que:

1. $\frac{d}{dt} \text{tr}(A) = \text{tr}(\dot{A})$
2. $\frac{d}{dt} \text{vect}(A) = \text{vect}(\dot{A})$
3. $\text{tr}(\hat{s}A) = -s^T \text{vect}(A)$
4. $\text{tr}(A\hat{s}) = -s^T \text{vect}(A)$
5. $\text{vect}(\hat{s}A) = [\text{tr}(A)I - A] s$
6. $\text{vect}(A\hat{s}) = [\text{tr}(A)I - A^T] s$

Prova: Angeles 2003, Apêndice A: Teoremas A1 e A2.



77/87



Voltar

Fechar

Representações Mínimas: Generalização

A idéia por trás do desenvolvimento anterior pode ser estendido para uma representação $R(a) = [r_1(a) \ r_2(a) \ r_3(a)]$ de 3 parâmetros $a = [a_1, \ a_2, \ a_3]^T$.

Levando em consideração a identidade ($\text{vect}(A) = (A - A^T)^\vee$)

$$\text{vect}(\dot{R}) = \text{vect}(\hat{\omega} \ R) = [tr(R)I - R] \ \omega$$

Por outro lado, dado que

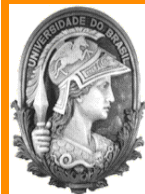
$$\dot{R} = \begin{bmatrix} \frac{\partial r_1}{\partial a} \dot{a} & \frac{\partial r_2}{\partial a} \dot{a} & \frac{\partial r_3}{\partial a} \dot{a} \end{bmatrix}$$

pode-se escrever:

$$\text{vect}(\dot{R}) = G(a) \ \dot{a}, \quad G(a) \in \mathbb{R}^{3 \times 3}$$

então tem-se que se $G(a)$ é não singular:

$$\dot{a} = \underbrace{G^{-1}(a) \ [tr(R(a)) \ I - R(a)]}_{J_R(a)} \ \omega$$



Parâmetros de Rodrigues/Gibbs/Cayley-Rodrigues

A parametrização é dada por:

$$\rho = \tan\left(\frac{\theta}{2}\right) k; \quad \rho \in \mathbb{R}^3$$

Sendo o Jacobiano dado por:

$$J_R(\rho) = \frac{1}{2} (I - \hat{\rho} + \rho\rho^T)$$

O jacobiano satisfaz a seguinte propriedade:

$$J_R^T(\rho)(I + \rho\rho^T)^{-1}J_R(\rho) = \frac{1 + \rho^2}{4}I$$



79/87



Voltar

Fechar

Parâmetros de Cayley-Rodrigues Modificados

A parametrização é dada por:

$$\sigma = \tan\left(\frac{\theta}{4}\right) k; \quad \sigma \in \mathbb{R}^3$$

Sendo o Jacobiano dado por:

$$J_R(\sigma) = \frac{1}{2} \left(\frac{1 - \sigma^2}{2} I - \hat{\sigma} + \sigma \sigma^T \right)$$

O jacobiano satisfaz a seguinte propriedade:

$$J_R^T(\sigma) J_R(\sigma) = \left(\frac{1 + \sigma^2}{4} \right)^2 I$$

Observação: propriedades de ortonormalidade do jacobiano implicam na passividade do sistema.



80/87



Voltar

Fechar

Quaternions

O Quaternion é definido por:

$$q = \begin{bmatrix} q_0 \\ q_v \end{bmatrix}; \quad q_0 = \cos(\theta/2) \in \mathbb{R} \quad q_v = \sin(\theta/2) k \in \mathbb{R}^3$$

onde $\|q\| = 1$ é a única restrição, com $R = e^{\theta \hat{k}}$.

O cálculo da derivada de q_0 é direta:

$$\dot{q}_0 = -\frac{1}{2} \sin(\theta/2) \dot{\theta} = -\frac{1}{2} \sin(\theta/2) k^T \omega = -\frac{1}{2} q_v^T \omega$$

Adicionalmente o jacobiano é dado por:

$$J_R(q) = \frac{1}{2} \begin{bmatrix} -q_v^T \\ q_0 I - \hat{q}_v \end{bmatrix} = \frac{1}{2} E(q)$$

e portanto

$$\begin{bmatrix} \dot{q}_0 \\ \dot{q}_v \end{bmatrix} = \frac{1}{2} E(q) \omega$$





82/87

Exercício: Provar que $2\dot{q}_v = (q_0 I - \hat{q}_v) \omega$.

Dica: Observe que $\dot{q}_v = \sin(\theta/2) \dot{k} + 1/2 \cos(\theta/2) \dot{\theta} k$ com \dot{k} e $\dot{\theta}$ dados pelo jacobiano da representação exponencial.

Exercício: Provar que $E(q)$ é ortonormal, i.e, $E^T E = I$.

Tem-se também que

$$\dot{q} = \frac{1}{2} \Omega(\omega) q; \quad \Omega(\omega) = \begin{bmatrix} 0 & -\omega^T \\ \omega & \hat{\omega} \end{bmatrix} = -\Omega^T(\omega)$$

então

$$q(t) = e^{\frac{1}{2}\Omega(\omega)t} q(0)$$



Voltar

Fechar



Representações da Orientação

Tem-se que para $R \in SO(3)$

$$R = e^{\theta \hat{k}}$$

com $k \in \mathbb{R}^3$ e $\|k\| = 1$

Representação Eixo/ângulo

A representação é dada por $\{k, \theta\}$.

$$R = I + \sin(\theta) \hat{k} + (1 - \cos(\theta)) \hat{k}^2$$

$$\theta = \arccos \left[\frac{\text{tr}(R) - 1}{2} \right]; \quad \hat{k} = \frac{1}{2 \sin(\theta)} [R - R^T]$$

$$J_R(\theta, k) = \begin{bmatrix} k^T \\ -1/2 [\hat{k} + \cot g(\theta/2) \hat{k}^2] \end{bmatrix}$$



Representações Mínimas: Ângulos de Euler (ZYZ)

$$R = R_z(\phi)R_y(\theta)R_z(\psi) = \begin{bmatrix} \cdot & \cdot & c\phi s\theta \\ \cdot & \cdot & s\phi s\theta \\ -s\theta c\psi & s\theta s\psi & c\theta \end{bmatrix} = \begin{bmatrix} r_{11} & r_{12} & r_{13} \\ r_{21} & r_{22} & r_{23} \\ r_{31} & r_{32} & r_{33} \end{bmatrix}$$

$$\phi = \text{atan2}(r_{23}, r_{13})$$

$$\theta = \text{atan2}(\sqrt{r_{13}^2 + r_{23}^2}, r_{33})$$

$$\psi = \text{atan2}(r_{32}, -r_{31})$$

Considerando as rotações dada pelos ângulos de Euler

$$J_R(\phi, \theta, \psi) = \frac{1}{\sin(\theta)} \begin{bmatrix} -c\phi c\theta & -s\phi c\theta & 1 \\ -s\phi s\theta & c\phi s\theta & 0 \\ c\phi & s\phi & 0 \end{bmatrix}$$



Roll-Pitch-Yaw

Considerando os ângulos ψ (roll), θ (pitch) e ϕ (yaw) tem-se

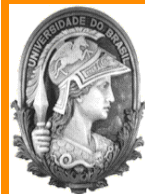
$$R = R_z(\phi)R_y(\theta)R_x(\psi) = \begin{bmatrix} c\phi c\theta & \cdot & \cdot \\ s\phi c\theta & \cdot & \cdot \\ -s\theta & c\theta s\psi & c\theta c\psi \end{bmatrix} = \begin{bmatrix} r_{11} & r_{12} & r_{13} \\ r_{21} & r_{22} & r_{23} \\ r_{31} & r_{32} & r_{33} \end{bmatrix}$$

$$\phi = \text{atan2}(r_{21}, r_{11})$$

$$\theta = \text{atan2}(-r_{31}, \sqrt{r_{32}^2 + r_{33}^2})$$

$$\psi = \text{atan2}(r_{32}, r_{33})$$

$$J_R(\psi, \theta, \phi) = \frac{1}{\cos(\theta)} \begin{bmatrix} c\theta & s\psi s\theta & c\psi s\theta \\ 0 & c\psi c\theta & -s\psi c\theta \\ 0 & s\psi & c\psi \end{bmatrix}$$



Parâmetros de Rodrigues/Gibbs/Cayley-Rodrigues

$$\rho = \tan\left(\frac{\theta}{2}\right) k; \quad \rho \in \mathbb{R}^3$$

$$R = \frac{(1 - \rho^2)I + 2(\rho\rho^T + \hat{\rho})}{1 + \rho^2}; \quad \rho^2 = \|\rho\|^2 = \tan^2(\theta/2)$$

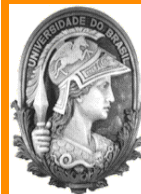
$$\hat{\rho} = \frac{1}{1 + \text{tr}(R)}[R - R^T]$$

$$J_R(\rho) = \frac{1}{2} (I - \hat{\rho} + \rho\rho^T)$$

Parâmetros de Cayley-Rodrigues Modificados

$$\sigma = \tan\left(\frac{\theta}{4}\right) k; \quad \sigma \in \mathbb{R}^3$$

$$R = I + 4 \frac{1 - \sigma^2}{(1 + \sigma^2)^2} \hat{\sigma} + \frac{8}{(1 + \sigma^2)^2} \hat{\sigma}^2; \quad \sigma^2 = \|\sigma\|^2 = \tan^2(\theta/4)$$



86/87



Voltar

Fechar



$$J_R(\sigma) = \frac{1}{2} \left(\frac{1 - \sigma^2}{2} I - \hat{\sigma} + \sigma \sigma^T \right)$$

Quaternions

$$q = \begin{bmatrix} q_0 \\ q_v \end{bmatrix}; \quad q_0 = \cos(\theta/2) \in \mathbb{R} \quad q_v = \sin(\theta/2) k \in \mathbb{R}^3$$

onde $\|q\| = 1$ é a única restrição, com $R = e^{\theta \hat{k}}$.

$$R = (2 q_0^2 - 1) I + 2 (q_v q_v^T + q_0 \hat{q}_v)$$

$$q_0 = \frac{1}{2}(1 + \text{tr}(R))^{1/2} \quad \hat{q}_v = \frac{1}{4 q_0} [R - R^T]$$

$$J_R(q) = \frac{1}{2} \begin{bmatrix} -q_v^T \\ q_0 I - \hat{q}_v \end{bmatrix}$$

